

高等学校試用教科書

鑄造生产自动化

下册

哈尔滨工业大学机械系鑄工教研室編譯

只限学校内部使用



中国工业出版社

高等学校試用教科書



鑄造生產自動化

下册

哈尔滨工业大学机械系鑄工教研室 編譯

中国工业出版社

本書是根据苏联專家 H. T. 薩洛夫 1956 年在北京清华大学对鑄造專業教師及研究生講授“鑄造生产自动化”課程所用教材編譯的，并結合了几年來对学生講授此课程的教学实践，在內容上作了适当的增減。

本書为下冊，主要叙述鑄造生产自动檢查及鑄造生产自动调节部分。

本書可作为高等学校鑄造專業的試用教科書，也可作为鑄造技术人員的参考書。

鑄造生产自动化

下 冊

哈尔滨工业大学机械系鑄工教研室 編譯

*

中国工业出版社出版 (北京佟麟閣路丙10号)

(北京市書刊出版事業許可証出字第110号)

北京市印刷一厂印刷

新华書店科技發行所發行·各地新华書店經售

*

开本 787×1092 1/16 · 印張 8 $\frac{1}{2}$ · 字数 185,000

1961年9月北京第一版 · 1961年9月北京第一次印刷

印数 0001—3,037 · 定价(10—6) 1.00 元

統一書号：15165 · 400 (一机-69)

前　　言

本書是根據蘇聯專家 H. T. 薩洛夫 1956 年在北京清華大學對鑄造專業教師及研究生講授“鑄造生產自動化”課程所編教材編譯的，並結合幾年來對學生講授此課程的教學實踐，在內容和章節編排上做了適當的增減和變動。

全書分為上、下兩冊。上冊為鑄造生產自動控制部分，由清華大學鑄工教研組編譯；下冊為鑄造生產自動檢查及鑄造生產自動調節部分，由哈爾濱工業大學鑄工教研室編譯。

鑄造生產自動控制部分，對原編教材的某些控制實例做了適當的刪減。在自動檢查部分中加入了測量電路的簡單計算原理、電子自動檢查裝置的幾種組件和幾種參量的測量裝置。自動調節部分中增加了自動調節系統的基本要求和調節質量指標，以及調節器類型的選擇原則，刪減了目前用得不多的幾種類型調節器。

由於編譯時間倉促以及水平的限制，對原編教材的增減定有不當之處，如結合我國鑄造生產實際不够，編譯文字及名詞的選用也不盡妥善，希望讀者提出寶貴意見。

目 次

前言 3

第二篇 自动檢查

引言 6

第三章 參量變換器 8

§ 3-1 变阻器式变換器 8

§ 3-2 电感变換器 13

§ 3-3 电容变換器 16

1. 作用原理 16

2. 类型 17

3. 电容变換器的电路 19

§ 3-4 电阻絲变換器 21

§ 3-5 热电阻变換器 22

1. 概述 22

2. 热电阻的应用 23

§ 3-6 光电变換器 25

1. 光电变換器的型式 25

2. 光电元件接入测量线路的方式 26

3. 差接光电变換器 27

§ 3-7 热电变換器 28

1. 一般介紹 28

2. 热电偶自由端溫度变化所引起的誤差 30

3. 导線、热电偶和測量器溫度变化所引起的誤差 32

第四章 电子自动测量裝置的測量电路 33

§ 4-1 自动平衡电桥的測量电路 33

1. 桥式电路的不平衡电流和电压 33

2. 自动平衡电桥的原理 34

3. 工業用自动平衡电桥的測量电路 35

§ 4-2 自动电位計的測量电路 36

1. 补偿电路的工作原理 36

2. 工業用自动电位計的測量电路 38

§ 4-3 电压放大器的工作原理及其电路 39

§ 4-4 平衡电机及功率放大器的电路 40

1. 罩極式电动机的运行 40

2. 功率放大器的电路 41

§ 4-5 电子自动测量裝置 42

1. 电子平衡电桥和电位計的型式和用途 42

2. 电子平衡电桥的工作原理及典型电路 43

3. 电子电位計的工作原理及典型电路 45

第五章 鑄造生产過程的自動檢查 46

§ 5-1 一般概述 46

§ 5-2 測量溫度的电气仪器 46

1. 电阻溫度計 46

2. 电阻溫度計的測量电路、溫度誤差 47

3. 光学高溫計 48

4. 全幅射高溫計 49

§ 5-3 測量压力的电气仪器 50

1. 概述 50

2. 压磁測力計和压力計 50

3. 电容測力計和压力計 51

4. 电感測力計和压力計 52

§ 5-4 測量真空的电气仪器(真空計) 54

1. 概述 54

2. 具有热电阻的真空計(BT-2型和BC-1型) 54

3. ВИ-3型游离真空計 55

§ 5-5 測量液体蒸汽和气体流量的仪器 56

1. 速度式流量計 56

2. 容积式流量計 57

§ 5-6 测量湿度的仪器 58

1. 鼓風空气湿度的測量 58

2. 测量固体及松散体材料湿度的电式仪器(湿度計) 61

§ 5-7 测量液体和颗粒体水平面的电气仪器(水位計) 64

1. 变阻器式水位計 64

2. 电感式水位計 65

3. 电容水位計	67
§ 5-8 帶有电子放大器的气体分析器	68
1. 工作原理和紅內綫型气体分析器	68
2. 工作于热传导变化原理的气体分析器	70
§ 5-9 电式 pH 計	71
1. 鋰電極 pH 計	71
2. 玻璃電極 pH 計	73

第三篇 自动調節

第六章 自动調節系統的基本概念	75
§ 6-1 自动調節的定义、任务及意义	75
1. 自动調節的定义和任务	75
2. 自动調節的意义	76
§ 6-2 自动調節系統的分类	76
§ 6-3 自动調節系統的結構及名詞解釋	78
§ 6-4 自动調節系統的基本要求及 調節質量指标	79
1. 对自动調節系統有以下几点基本 要求	79
2. 自动調節系統的質量指标	80
§ 6-5 調節質量的影响因素	81
1. 外界扰动性質对調節質量的影响	81
2. 調節对象特性对調節質量的影响	82
§ 6-6 調節器的分类和特点	86
1. 按調節方法分类	86
2. 按被調參數分类	87
3. 按作用方法分类	87
4. 按調節特性分类	88
§ 6-7 調節器及其調節規律	88
1. 位置調節器	88
2. 無定位調節器	89
3. 靜定調節器	90

4. 再調調節器	91
5. 具有导数的再調調節器	93
§ 6-8 調節器类型的选择原則	93
1. 液体或气体压力和液面高度調節器的 选择	94
2. 液体和气体流耗量調節器的选择	94
3. 溫度調節器的选择	94

第七章 工業調節器的結構及其

工作原理	95
§ 7-1 液动調節器	95
§ 7-2 气动調節器	98
§ 7-3 电动調節器	100
1. ЭРМ-47 型位置調節器	100
2. 电动靜定調節器	103
3. ИР-130 型再調調節器	104
4. ВТИ 系統的調節器	109
§ 7-4 組合調節器	113
1. 电子气动調節器	113
2. 电子液动調節器	115

第八章 鑄造生产过程的自动調節 116 |

§ 8-1 冲天爐鼓風量的自动調節	116
1. 按重量調節風量	118
2. 按容积調節風量	118
3. 采用空气天平調節冲天爐的鼓風量	120
4. 按燃燒產物中 CO ₂ 的含量調節 鼓風量	124
§ 8-2 冲天爐出鐵槽中鐵水溫度自 動調節	125
§ 8-3 液体合金輾压中的自动調節	125
§ 8-4 料斗中造型混合料料面高度 的自動調節	127
§ 8-5 烘干爐溫度自動調節	129
参考文献	130

第二篇 自动检查

引言

1. 自动检查的任务及意义

檢查或測量就是用實驗的方法对任何現象任何規律性在質和量兩方面达到認識的过程，它所具有的可能性（关于准确度、灵敏度、以及測量範圍）在頗大程度上决定了科学的發展水平，它的水平越高，則科学成就越加深广；而在另一方面，科学的發展又为測量技术的發展創立了新的前提，新的途徑和新的可能性。

除上述价值以外，有些过程不用仪表來檢查，过程的进行是很难掌握的。正确地安排測量工作，可以保証生产过程的可靠性，經濟性和广泛采用自动化的可能性。如無自動檢查水份的仪器，就不可能實現混砂过程加水量自動調節；因此也就不可能使型砂質量稳定和获得高質量的型砂。

自動檢查的任务乃是連續地或間斷地測量過程中的某参数或某几个参数值的大小，然后把測得的数值以仪器的指針、圖上的曲線或信号（达到極限时）的方式傳給操作者，当測量仪器所測的值与要求值不符时，便由操作者改变過程的进行。

因此，檢查仪器只能使人們有可能进行測量，亦即只可能知道過程中一定参数值的大小，而完全不能对这些被測量参数的变化發生任何影响，因而也不影响過程的进行。

誠然，人們的感覺器官是最方便的檢查工具，但是它們最不准确，也最易疲劳。

在很早以前，人們就开始利用机械作用的檢查仪器了，如盤秤、日規、砂漏等等。当人們掌握水力能和壓縮空氣能以后，便出現了液動和氣動檢查仪器，如液体溫度計、壓力計等。

随着电工学和电子学的發展，現在已开始大量采用电子仪器和各种組合式仪器（如气动电子仪器，液動电子仪器等）进行檢查了；并且也已开始利用原子內部能量进行檢查了。

2. 自动检查系統的一般介紹

經受檢查或測量的参数，称为被測参数，而包括它們的对象称为被測系統。

在近代技术中，被測参数的数量十分龐大，如重量、容积、压力、溫度、耗量、电流、电压、照度、化学成份等等。即使对于一种被測参数，其檢查仪器的数量，無論按作用原理、所用能量的形式，或按構造特点而言，也是十分龐大的。例如，單对溫度一項來說，就可以用液体溫度計、各種構造的热电偶、光学高溫計、輻射高溫計、热电溫度計等等。显然，制造这样龐大数量的各种檢查仪器，研究它們的工作情况以及安裝和使用的問題，是愈来愈困难了；并且要有大量的專門工厂来制造。这种情况，使人們想到，尽可能地建立一种能测量大量参数的統一方法——“万能”的檢查仪器。关于它的可能性在下面將再論述。

自动测量仪器的分类。测量仪器可按以下特征分类：

(1) 按使用能量自动测量仪器可分为：

机械作用的、气动的、液动的、电动的、电子仪器等。

(2) 按被测参数自动测量仪器可分为（在铸造生产中下列测量仪器用得最多）：

温度自动测量仪器，压力及负压自动测量仪器、液体及气体流量自动测量仪器、液面高度自动测量仪器、湿度自动测量仪器以及气体成份自动分析仪等。

(3) 按测量方法可分为：

连续测量的和断续测量的。

(4) 按作用方法可分为：

直接作用的和间接作用的。在直接作用的仪器中，被测参数的指示或记录是由被测系统本身的能量来进行，测量仪器没有辅助能源，如液体温度计、弹簧秤等。在间接作用的仪器中，被测参数的指示或记录是利用辅助能源的能量来进行的，如自动电位计等。间接作用的仪器较直接作用的仪器具有更高的准确度、灵敏度和更广的适用范围。

由上述可知，连续间接作用的检查仪器是最有发展前途。

普遍采用电式测量仪器来测定包括非电量在内的一切物理量，是现代测量技术发展上的特点。这是因为电式仪器具有一系列优点：连续测量和记录被测参数的可能性，实现远距离测量以及与控制生产过程的执行机构相联系（通过继电器）的可能性，测量的高度准确性和灵敏性，无论被测数量的数值甚大或甚小时，测量范围都很广泛。

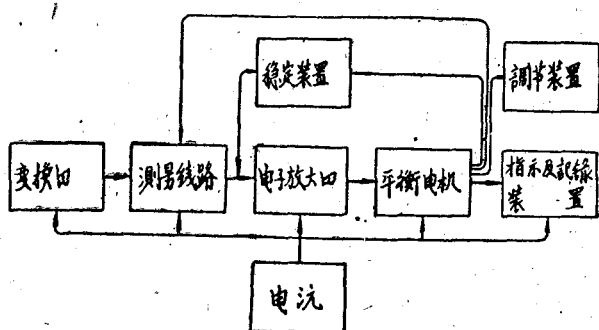
当使用电式仪器测量非电量时，必须首先将非电量转换为电量。在测量装置里完成这种转换作用的元件，称为电变换器或简称为变换器。

这类变换器是利用固体、液体或气体的某种电参数与被测参数间的依赖关系而完成其职能的，如电阻与温度间的关系。

将电量通过变换器变成与之成比例的电量，然后再利用电式仪器进行测量，就有可能使测量仪器标准化，并在相当程度上将测量仪器和自动调节器的动作原理“万能化”。这一情况具有十分重大的意义。事实上，如果能将各种不同参数变成正比于它们的电流之大小，便可以采用统一的仪器——电流计作为测量仪器，而把其余形式的仪器取消。

目前我国工业出产着大量的各种类型的自动电子仪器。这些自动仪器的作用原理基本是相同的，其结构图如下：

一般情况下，自动电子仪器由以下部分组成：变换器、测量电路、电子放大器、平衡电机、稳定装置、指示和记录装置及电源。根据用途和仪器类型之不同，各组件的具体电路和构造可能不同，但是整个仪器的结构图仍是一致的。在某些仪器中，结构图中所示的个别组件可能没有。例如，有的仪器本身不带调节装置，而是做为仪器的附件。变换器直接放在被测对象中，它与测量电路通过导线联接。



带有调节装置的自动电子仪器的结构图

变换器将非电量变成电量，测量电路反映出此电量的大小和方向，并将它加到放大器输入端，经放大后使平衡电机转动，而后者则带动指示和记录装置工作。同时，平衡电机也带动测量电路中的滑动部分（如滑线电阻之滑块）使它在新的状态下达到平衡。稳定装置可使仪器具有较好的动特性。

本篇的第一章将对上述结构图中各个组件的工作原理分别予以介绍；之后，在第二章中再介绍铸造生产中常用的自动仪器的工作原理及其使用情况。

第三章 参量变换器

§ 3-1 变阻器式变换器

这种变换器亦叫电阻式变换器。

利用位移的变化，通过机械结构使电阻器的电阻值改变，因而引起电压或电流的变化。利用变化的电压或电流来进行测量或反馈到输入端作为控制之用。

常用的电阻式位移变换器有变阻器式和电解式，前者用的较多。因此下面只着重介绍一下这种变换器。

变换器工作原理如图 3-1 所示，当位移 x 有变化因而移动滑臂时， R_2 就有变化，间接改变了输出量 u_2 ，可见

$$u_2 = f(x)$$

u_2 就可以代表 x 。

变阻器的一般形式如图 3-2 所示， A 为支架，多用陶瓷、塑料等绝缘材料或外附绝缘层的金属作成。后者的散热性较好，可允许较大的负载。支架形状为环状、柱状或盘状。

制造电阻丝所最常用的材料是锰铜或康铜；也采用高阻合金（铁铬铝）。在特殊重要

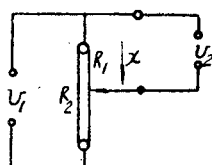


图 3-1

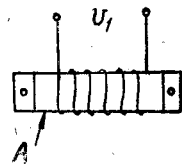
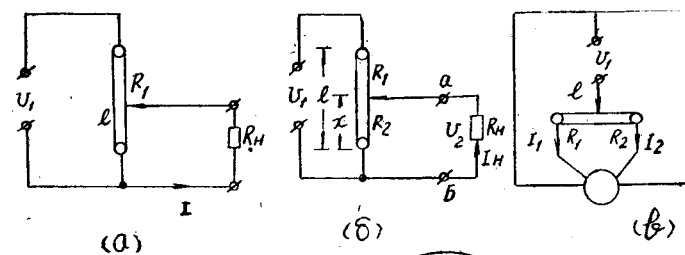


图 3-2

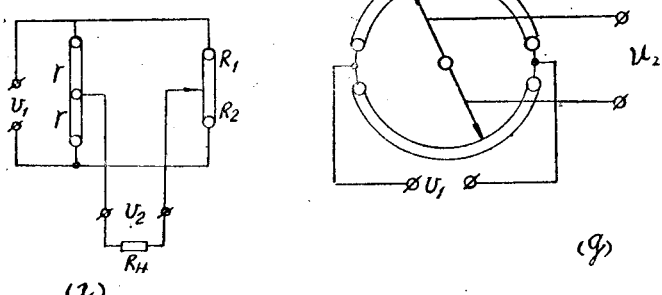


图 3-3

的場合，例如对接触表面的耐磨损度有特別高的要求，或接触压力很小时，则采用鉑銻合金（90% Pt + 10% Ir）或采用鉑和鈀、銥、釤、鐵的合金。

导体和支架的热膨胀系数应近似，不然，在溫度升高时要伤及导体。

在纏繞时对导体所加拉力要加以計算，使热时或冷时导体不致松散或折断。

变阻器式变换器的接綫方法如圖 3-3 所示，在圖 (a) 中电流 $I = \frac{U_1}{R_1 + R_H}$ ，即 $I = f_1(R_1) = f_2(l)$ ，但由公式可以看出 $I - R_1$ 间关系不是綫性，所以在自动系統上不常应用。圖 (b) 是一个电位計，利用等效發电机定理可以求出：

$$I_H = \frac{U_{a6}}{R_H + R_i},$$

式中 R_i 为 $a6$ 处等效电阻： $R_i = \frac{R_1 R_2}{R_1 + R_2}$ ；

$$U_{a6} \text{ 为 } a6 \text{ 开路时的电压: } U_{a6} = \frac{U_1}{R_1 + R_2} R_2.$$

所以 $I_H = \frac{U_1}{(R_1 + R_2)(R_H + R_i)} R_2.$

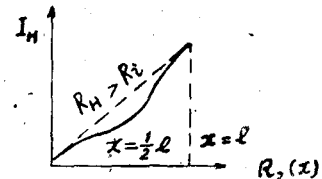


圖 3-4

式中 $(R_1 + R_2)$ 为常数，如 $(R_H + R_i)$ 亦是常数， I_H 就正比于 R_2 ，其关系是綫性的。但实际上 $R_i \propto x$ ，因此 I_H 和 R_2 的关系如圖 3-4 中实綫所示。

如 $R_H \gg R_i$ ，上式可簡化为：

$$I_H = \frac{U_1}{(R_1 + R_2)R_H} R_2 = f_1(R_2) = f_2(x),$$

就变为綫性关系，如圖 3-4 中虛綫所示。但实际应用上常常 R_i 不能忽略，因此就需考虑它的誤差。

設 K = 变阻器單位長度的电阻，

所以

$$R_1 + R_2 = R = Kl,$$

$$R_2 = Kx,$$

$$R_1 = K(l - x).$$

代入上式

$$\begin{aligned} I_H &= \frac{U_1 R_2}{(R_1 + R_2)(R_H + R_i)} = \frac{U_1 R_2}{R \left(R_H + \frac{R_1 R_2}{R} \right)} \\ &= \frac{U_1 Kx}{Kl \left[R_H + \frac{K(l-x)Kx}{Kl} \right]} \\ &= \frac{U_1}{R_H} \cdot \frac{x}{l} \cdot \frac{1}{1 + \frac{x}{l} \left(1 - \frac{x}{l} \right) \frac{R}{R_H}}. \end{aligned}$$

当 $R_H \gg R_i$ 时，

$$\begin{aligned} I_{H0} &= \frac{U_1 R_2}{R R_H} = \frac{U_1 Kx}{Kl R_H} \\ &= \frac{U_1}{R_H} \cdot \frac{x}{l}. \end{aligned}$$

兩情況比較：電流誤差絕對值為：

$$\begin{aligned} I_{H0} - I_H &= \Delta I_H = \frac{U_1}{R_H} \cdot \frac{x}{l} \left[1 - \frac{1}{1 + \frac{x}{l} \left(1 - \frac{x}{l} \right) \frac{R}{R_H}} \right] \\ &= \frac{U_1}{R_H} \times \frac{x}{l} \left[\frac{\frac{x}{l} \left(1 - \frac{x}{l} \right) \frac{R}{R_H}}{1 + \frac{x}{l} \left(1 - \frac{x}{l} \right) \frac{R}{R_H}} \right]. \end{aligned}$$

誤差相對值為：

$$\begin{aligned} \frac{\Delta I_H}{I_{H0}} &= \frac{\frac{x}{l} \left(1 - \frac{x}{l} \right) \frac{R}{R_H}}{1 + \frac{x}{l} \left(1 - \frac{x}{l} \right) \frac{R}{R_H}} \\ &= \frac{1}{1 + \frac{l^2}{x(l-x)} \frac{R_H}{R}}. \end{aligned}$$

由圖 3-4 可以看出：

當 $x = \frac{l}{2}$ 時，誤差最大。

$$\text{所以最大誤差} \left(\frac{\Delta I_H}{I_{H0}} \right)_{\max} = \frac{1}{1 + 4 \frac{R_H}{R}}.$$

由以上二式亦可得上述相同結論，即 R_H 越大，誤差越小。

在圖 3-5 中，電路接成橋式，觸點在正中時， $I_H = 0$ ，觸點離開正中， $I_H \neq 0$ ，且有正負，是一種有方向性的，自動系統上常為應用。

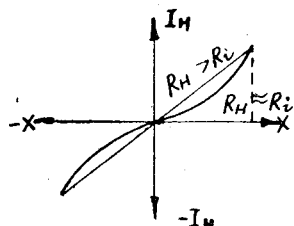


圖 3-5

變阻器的計算

A. 导線的計算：

設 R —已知的變阻器電阻值，

$$\text{則 } R = \frac{\rho l w}{A},$$

式中 ρ —電阻系數；

l —每匝平均長度；

w —匝數 $= \frac{L}{df}$ ；

L —繞組長度；

d —導體直徑；

f —系數 $= (1.05 \sim 1.10) = \frac{d_1}{d}$ ；

d_1 —導線外徑(計入絕緣層)；

$$A \text{——导体面积} = \frac{\pi d^2}{4}$$

所以

$$R = \frac{4\rho l}{\pi d^2} \times \frac{L}{f \cdot d^2}$$

$$d = \sqrt[3]{\frac{4\rho l L}{\pi f R}}$$

按允许温升核验直径:

导线的抗张强度 P :

$$P = EA(\alpha_k - \alpha_{np})(\theta_1 - \theta_2),$$

式中 E ——导线材料的弹性模数;

α_k ——支架的线膨胀系数;

α_{np} ——导体的线膨胀系数;

θ_1 ——在周围温度最高时, 支架发热温度的上限;

θ_2 ——在周围温度最低时, 支架发热温度的下限。

抗张应力

$$\sigma = \frac{P}{A} = E \cdot (\alpha_k - \alpha_{np})(\theta_1 - \theta_2).$$

要求

$$\sigma \leq \text{弹性限度 } \sigma_y,$$

所以, 根据导体的机械强度决定的导体最大温升为:

$$\Delta\theta = \theta_1 - \theta_2 \leq \frac{\sigma_y}{E(\alpha_k - \alpha_{np})},$$

$$\theta_1 \leq \frac{\sigma_y}{E(\alpha_k - \alpha_{np})} + \theta_2.$$

设 θ_{om} 代表周围介质的最高温度,

则因电流发热的允许温升为:

$$\Delta\theta = \theta_1 - \theta_{om}.$$

在允许温升下每匝导体发散的热量 H 为:

$$H = \mu S \Delta\theta.$$

式中 μ ——散热系数 卡/厘米²秒°C;

S ——导线表面积 = $K \pi d l$;

K ——系数 (因为导线有一部分不与空气接触而与绕线架接触, 因而减低有效散热面积)。

一般

$$K = 1 \sim \frac{1}{2},$$

$$\mu = 0.24 \times (1 \sim 1.4) \times 10^{-3}.$$

μ 随温度依下式变化:

$$\mu = 0.24 [1.2 + 0.008(\theta_1 - 35^\circ\text{C})] \times 10^{-3},$$

$$\therefore H = \mu K \pi d l \Delta\theta.$$

在允许温升限制下, 所通过的最大电流为 I 。由此电流在每匝导体中产生的热量:

$$H' = 0.24 P = 0.24 I^2 R = 0.24 I^2 \frac{\rho l}{\frac{\pi d^2}{4}}.$$

應維持 $H' \leq H$, 即

$$\frac{0.24 I^2 \rho l}{\pi d^2} \leq u K \pi d l \Delta \theta,$$

$$I \leq \sqrt{\frac{u K \pi^2 d^3}{0.96 \rho}} \Delta \theta = I_{\text{允許}}$$

求出 d 后, 可根据上式求出允許电流 $I_{\text{允許}}$, 依此 $I_{\text{允許}}$ 值核驗实际电流大小。

6. 非綫性关系

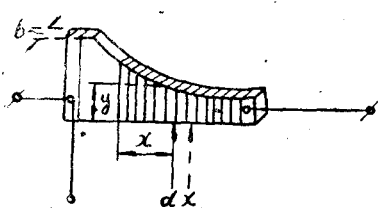


圖 3-6

有时因为控制的需要, 被控制电路內电流变化的規律要求是非綫性的, 上面的变阻器就不能达到要求。

在此情况下, 可以采用下列几种方法:

A) 曲綫的繞綫架 (圖 3-6)

設已知被控制电路电流变化規律所要求的电阻 R 变化規律为:

$$R_x = f(x)$$

設 B = 繩綫架包角半徑 = $(2 \sim 10)d$.

則:

$$b_0 = b - 2B;$$

$$y_0 = y - 2B.$$

設在滑臂移动 dx 距离, 电阻的变化为 dR_x ,

$$W_0 = \text{單位長度內繞綫匝數} = \frac{1}{fd};$$

S = 导綫截面。

所以:

$$dR_x = 2(b_0 + y_0 + \pi B) \rho \frac{w_0}{S} dx.$$

$$= 2(b - 2B + y - 2B + \pi B) \rho \frac{w_0}{S} dx$$

$$= 2(b + y - 0.86B) \rho \frac{w_0}{S} dx.$$

$$R_x = \int_0^x dR_x = 2(b - 0.86B) \rho \frac{w_0}{S} x + 2\rho \frac{w_0}{S} \int_0^x y dx = f(x).$$

$$\int_0^x y dx = \frac{Sf(x)}{2\rho w_0} - 2(b - 0.86B)x.$$

由上式微分而得:

$$y = \frac{S}{2\rho w_0} \frac{df(x)}{dx} - 2(b - 0.86B).$$

这个公式表示在一定的 $R_x = f(x)$ 变化規律下, y 的变化。

这种裝置可以在很广的范围内变化 (負載电流和 x 之間的关系), 但有时如变阻器側面曲綫过于陡峭, 繩綫难以堅牢固定, 就不能采用此方法, 而用下列方法代替。

B) 分段繞綫 (圖3-7)

这种方法是以折线代替平滑特性曲线 $R_x = f(x)$ ，将整段电阻分为数段，每段绕线的高度 h 不变。所以接头在此段间滑动时，电阻 R_x 的变化是线性的。这段的长度 l 大小是根据限制的 ΔR_0 值决定，亦即应保持 $\Delta R < \Delta R_0$ 。

如选定了 ΔR 值以后就可根据上式确定此段的高度 h 。

$$h = \frac{\Delta R}{l} S = \frac{\Delta R}{2 \rho w_0} \cdot 2(b - 0.86B).$$

这种方法的缺点是绕线架较复杂。

另外还可以用下列四种方法达到分段的目的：

- a) 各段采用不同的绕线间隔，则 W_0 不同；
- b) 不同段上用不同截面的导线，则 S 不同；
- c) 不同段上用不同材料的导线，则 ρ 不同；
- d) 不同段上接入不同电阻。

B) 分段接入电阻方法

如图 3-8 所示，设第 n 段的基本电阻增值为 ΔR_{n0} ，并联电阻 r_n 后的电阻增值为 ΔR_n ，则：

$$\Delta R_n = \frac{\Delta R_{n0} r_n}{\Delta R_{n0} + r_n}, \quad r_n = \frac{\Delta R_{n0} \Delta R_n}{\Delta R_{n0} - \Delta R_n}.$$

C) 输出和输入有三角函数关系的

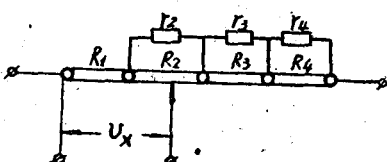


圖 3-8

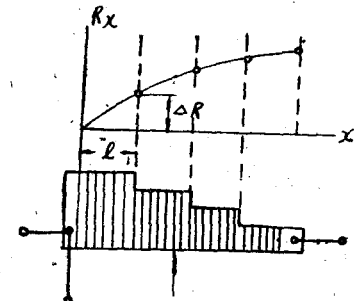


圖 3-7

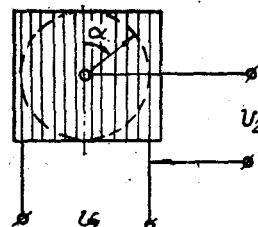


圖 3-9

如图 3-9 所示，输出电压 U_2 和输入电压 U_1 的关系如下：

$$U_2 = \pm \frac{U_1}{2} \sin \alpha.$$

§ 3-2 电感变换器

在图 3-10 a 中示出了使用最广泛的变换器，它有一个小气隙 δ 。 δ 的长度随被测量的机械量 P （集中力、压力、线位移）而变。因为气隙的变化，磁阻也有了变化，因而，引起接在交流电路中且绕在铁芯上的线圈的电感的变化。电感的变化引起了线圈阻抗 Z 的相应变化。因此，就产生了被测量的机械量 P 和变换器阻抗 Z 之间的函数关系：

$$Z = f(P) \text{ 和 } \Delta Z = f(\Delta P).$$

另一种电感变换器如图 3-10 b 所示，它是一种有开磁路的电感变换器。变换器是一个线圈 1，它的内部有铁芯 2。所以，铁芯的位置以及电感的变化都是被测量的机械量的函数。当铁芯有很大位移的情况下，这种变换器特别适用于使用。

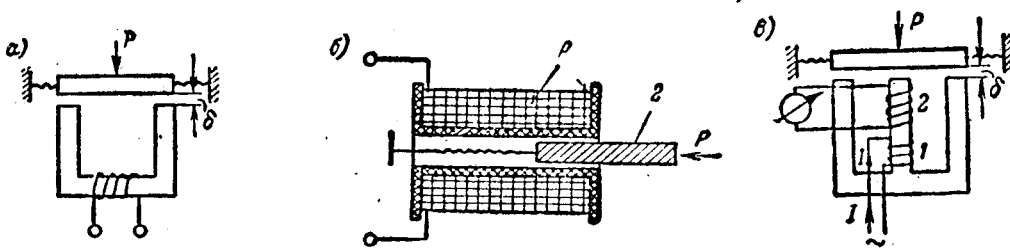


图 3-10 电感变换器

在图 3-10 α 中表示了变压器式电感变换器的构造原理。线圈 1 接于交流电源。副线圈接以伏特计或示波器的振子。在被测量 P 的作用下，衔铁的位移引起空气隙的变化，改变链贯两个线圈的磁通 ϕ 的磁阻抗，所以，磁通 ϕ 的大小也就跟着变化（假定磁势保持恒定，即电流 I 保持恒定）。因此，磁通 ϕ 和副线圈中的感应电势 E_2 是空气隙长度的函数，即 P 的函数：

$$E_2 = f(P).$$

这种变换器的任一个线圈的阻抗可用下式决定：

$$Z = R + j\omega \frac{W^2}{Z_m}, \quad (3-1)$$

式中 R ——线圈的直流电阻；

W ——匝数；

Z_m ——磁路的磁阻抗。

如果（初步近似不计）不考虑漏磁通的阻抗，那末可将 Z_m 分为两个组成：

$$Z_m = Z_{mct} + R_{m\delta}, \quad (3-2)$$

式中 Z_{mct} ——磁路的铁芯部分的磁阻抗；

$R_{m\delta}$ ——气隙部分的磁阻。

因为

$$R_{m\delta} = \frac{\delta}{\mu_0 S},$$

式中 S ——空气隙截面积，所以线圈的全阻抗 Z ，

$$Z = R + j\omega \frac{W^2}{Z_{mct} + \frac{\delta}{\mu_0 S}}.$$

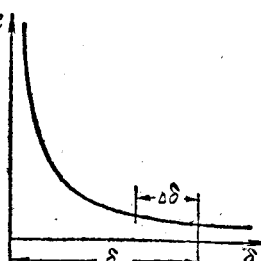
和空气隙长度 δ 成双曲线关系（图 3-11），而气隙的初始值 δ_0 已经限制了曲线上的直线段，使它的长度 $\Delta\delta$ 在 $0.1 \sim 0.15 \delta_0$ 左右。

对于所有的变压器式变换器，在位移和磁通 ϕ 之间也都存在着这种类似的关系。

使用差接式的变换器（图 3-12）可以增加特性曲线的直线部分，通常是把它的一对线圈接在电桥的相邻两臂上。

图 3-11 线圈阻抗对于空气隙长度 δ 的关系

当 $P=0$ 时，衔铁位于一对铁芯（或者图 3-12 α 中的一对线圈）的中心，使两个线圈上磁通的磁阻抗是相同的。在被测



量 P 的作用下，二磁阻抗的变化符号相反而数量相同。

我們知道，电桥对角綫上的电流 I_r 可近似地表示为（詳見[3] § 22-2）：

$$I_r = k(Z_1 Z_4 - Z_2 Z_3).$$

式中 k ——常数乘数（伏/欧姆³）；

Z_1 和 Z_2 ——变换器的阻抗。

因为在被测的非电量的初始值时电桥是平衡的 ($Z_1 = Z_2$)，而且在使用对称电桥的时候 $Z_3 = Z_4$ ，所以在被测量的作用下有：

$$I_r = R_1(Z_1 - Z_2).$$

应用到圖 3-12 a 的变换器的函数 $Z_1 = f_1(\delta)$, $Z_2 = f_2(\delta)$ 和 $(Z_1 - Z_2) = f_3(\delta)$ 如圖 3-13 所示，从这里可以看到变换器的特性曲綫的線性部分比起單式变换器要寬得多，銜鐵的工作位移 $\Delta\delta$ 可以增大到 $0.3 \sim 0.4 \delta_0$ 。

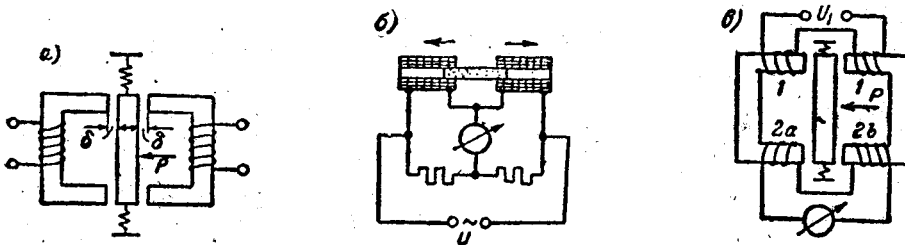


圖 3-12 差接式电感变换器的几种型式

对于圖 3-12 b 可以做出类似的图形。

至于差接式变压器型变换器（圖 3-12 c）則由于副綫圈的对接，而得到了 $(Z_{2a} - Z_{2b})$ 的差：

$$\begin{aligned} E_2 &= E_{2a} - E_{2b} = \omega \phi_a w_2 - \omega \phi_b w_2 \\ &= \omega w_2 (\phi_a - \phi_b) = \omega w_2 \left(\frac{F_1}{Z_{M2}} - \frac{F_1}{Z_{M2}} \right) \\ &= \frac{\omega w_2 F_1}{Z_{M2} Z_{M2}} (Z_{M2} - Z_{M2}). \end{aligned}$$

研究了方程式 (3-1) 和 (3-2)，可以看到， E_2 是被阻抗之差 $(Z_a - Z_b)$ 所决定的。而如果合于前面所說的条件，就可以加寬变换器特性曲綫的直綫部分。

实际上所应用的电感变换器几乎都只用差接式的变换器，这不仅是从特性曲綫的線性部分考慮要这样做，而且更重要的是可以减少变换器的誤差。

电感变换器的优点是：

a) 可以得到較大的变换器功率（达到 $1 \sim 5$ 伏安），就有可能利用比較不灵敏的测量仪器接到测量电路輸出端，而且在需要記錄时，就可以直接接到示波器振子电路而無需前置放大器，然而对于小型的变换器，通常必須在测量电路和振子之間加放大器；

b) 構造簡單，沒有滑动触点，工作可靠；又可以在工頻下工作。

它的缺点是，輸出量大小与电源电压的频率有密切关系。

为反映極性，可以选用圖3-14的接法。

当 u_\sim 的極性如圖示时， u'_2 及 u''_2 極性如圖，电流經兩对角綫的整流器成通路。

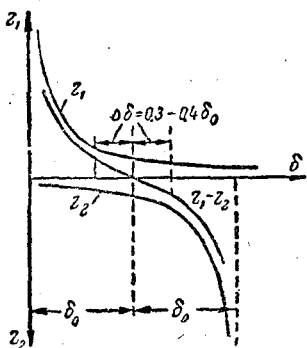


圖 3-13 差接式電感變換器—對線圈的 $Z_1=f_1(\delta)$,
 $Z_2=f_2(\delta)$ 和 $(Z_1-Z_2)=f_3(\delta)$ 的關係曲線

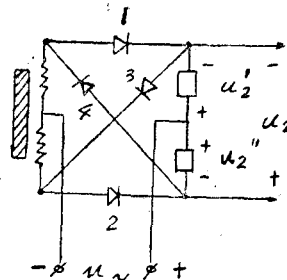


圖 3-14

如鐵心在上，則 $u'_2 > u''_2$, u_2 的極性如圖示。

下半週， u'_2 及 u''_2 的極性相反，但電流是經 1、2 兩整流器成通路，所以改為 $u''_2 > u'_2$, u_2 極性不變。

但如 u_\sim 的極性相反，或活動鐵心位移的方向相反， u_2 的極性就反，其特性可以反映極性。

取消 3、4 兩整流器亦可以達到反映極性要求，但變為半波整流，靈敏度要差一半。

§ 3-3 電容變換器

1. 作用原理

用最簡單的結構——平行板電容器作例（圖 3-15）來加以說明。

設兩板的距離為 d ，相互遮蓋面積為 S ，兩板間介質的介電常數為 ϵ ，則兩板間電容 C 的實用單位值為：

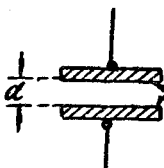


圖 3-15

$$C = \frac{\epsilon \cdot S}{4\pi \times 9 \times 10^{11} d} \text{ (法)} \\ = \frac{\epsilon \cdot S}{3.6 \pi d} \text{ (微微法).}$$

由上式可見，當 ϵ 、 S 或 d 變化時，全可以改變 C ，因而改變 x_c ，使輸入電壓或電流變化。

S 和 d 的變化可以反映角或線位移， ϵ 的變化反映高度；三者之中以改變 S 的方法最常應用。

但這種變換器有它的缺點，因此在應用上不如前述兩種普遍，其缺點為：

- a) 設備較複雜，信號必須加以放大；
- b) 一般電容本身不大，所以產生電容和外電場的影響較為顯著，要求嚴密的隔離；
- c) 要在高頻下使用，就要有高頻電源發生。設備在工業頻率下， $x_c = \frac{1}{2\pi f c}$ 值很大，產生漏電現象，影響測量，最高頻率有時可達 1 兆赫。

此種變換器也有它的優點：